

## مطالعه ترمودینامیکی پایانه کربوکسیل نوروتوکسین بوتولینوم تیپ E با روش طیف‌سنجی دورنگ‌نمایی دورانی

مصطفی رستمیان<sup>۱</sup>، سید جعفر موسوی<sup>۲\*</sup>، فیروز ابراهیمی<sup>۲</sup>

۱- کارشناس ارشد، ۲- استادیار دانشگاه جامع امام حسین (ع)

(دریافت: ۹۱/۰۲/۰۲، پذیرش: ۹۱/۱۲/۱۸)

### چکیده

بهمنظور پیشگیری از سندروم بوتولیسم، بهتازگی محققین به استفاده از واکسن‌های نوترکیب توجه خاصی نشان داده‌اند. یکی از این واکسن‌ها، پروتئین نوترکیب حاوی ۹۳ اسید آمینه انتهای کربوکسیل نوروتوکسین بوتولینوم تیپ E (rBoNT/E-HCC) است. در این تحقیق پس از بیان و تخلیص rBoNT/E-HCC، به بررسی اثر pH بر این پروتئین توسط طیف‌سنجی دورنگ‌نمایی دورانی (Circular Dichroism, CD) پرداخته شده و به دنبال آن مطالعات ترمودینامیکی بهمنظور یافتن شرایط بهینه تخلیص و سنجش امکان استفاده از این کاندید، واکسن به صورت خوراکی مورد بررسی قرار گرفته است. بدین منظور واسرتستگی حرارتی rBoNT/E-HCC مختلف (۲، ۵، ۷/۴ و ۹) توسط CD مورد بررسی قرار گرفته است. نتایج نشان داده که  $T_m$  و  $\Delta G^\circ$  پروتئین rBoNT/E-HCC در pHهای بازی نسبت به pHهای اسیدی بالاتر است. در نتیجه یافته‌های این تحقیق، بهترین شرایط تخلیص برای پروتئین rBoNT/E-HCC، شرایط با pH خنثی یا باز می‌باشد.

**کلیدواژه‌ها:** نوروتوکسین بوتولینوم تیپ E، واکسن نوترکیب، دورنگ‌نمایی دورانی، مطالعه ترمودینامیکی.

## Thermodynamic Study of Carboxy Terminal of Botulinum Neurotoxin Type E by Circular Dichroism Spectroscopy

M. Rostamian, S. J. Mousavy\*, F. Ebrahimi

Imam Hossein University

(Received: 21/04/2012; Accepted: 08/03/2013)

### Abstract

Nowadays for prevention of botulism syndrome, researchers have tended to use recombinant vaccines. One of these vaccines is a recombinant protein containing 93 amino acids of C-terminal of botulinum neurotoxin type E (rBoNT/E-HCC). In this study, after expression and purification of rBoNT/E-HCC, the effect of different pH on the protein was carried out by Circular dichroism (CD) spectrometry and followed by thermodynamics studies. The main goal was, to find the optimum purification condition for this protein and also to evaluate the possibility of using this protein as an oral vaccine. For this purpose, thermal denaturation of rBoNT/E-HCC was studied at four different pH (2, 5, 7.4, and 9) by CD. Our results indicated that  $T_m$  and  $\Delta G^\circ$  of rBoNT/E-HCC are higher in alkaline pH in comparison with acidic pH. Finally, our results suggest that; neutral or alkaline pH as the optimum pH for rBoNT/E-HCC purification.

**Keywords:** Botulinum Neurotoxin Type E, Recombinant Vaccines, Circular Dichroism, Thermodynamic Study.

## ۱. مقدمه

حرارتی است که پارامترهای مختلف ترمودینامیکی از تجزیه و تحلیل این نوع واپرسنگی حاصل می‌شود. هر کدام از این پارامترهای ترمودینامیکی حاوی اطلاعات ارزشمندی در مورد ساختار، خصوصیات و یا فعالیت پروتئین می‌باشد. یکی از این پارامترها تغییرات انرژی آزاد گیبس ( $\Delta G$ ) است [۱۲]. تحت شرایط استاندارد، وقتی واکنشگرها و محصولات با غلظت ابتدایی  $1\text{ M}$  وجود دارند، نیروی پیش برنده سیستم به سمت تعادل، به صورت تغییرات انرژی آزاد گیبس استاندارد ( $\Delta G^\circ$ )، تعریف می‌شود [۱۳]. با تجزیه و تحلیل داده‌های حاصل از طیفسنجی دورنگ نمایی دورانی می‌توان این پارامتر را بدست آورد [۱۴].

از آنجایی که دانستن خصوصیات بیوفیزیکی- بیوشیمیایی هر کاندید واکسن به منظور حصول شرایط مناسب نگهداری، تخلیص، تزریق و امکان استفاده از آن به صورت خوارکی، از اهمیت حیاتی برخوردار است، در این مطالعه پس از بیان و تخلیص پروتئین  $\text{rBoNT/E-HCC}$  به بررسی اثر  $\text{pH}$  به عنوان یک پارامتر بسیار تأثیرگذار روی ساختار پروتئین، با روش طیفسنجی دورنگ نمایی دورانی ( $\text{CD}$ ) پرداخته شده است. به عبارت دیگر هدف این مطالعه این بوده که بررسی شود چه  $\text{pH}$  برای نگهداری، تخلیص و تزریق این کاندیدای واکسن مناسب است و برای رسیدن به این هدف، مطالعات ترمودینامیکی به عنوان قدم اولیه انتخاب شده است. بدین منظور واپرسنگی حرارتی  $\text{rBoNT/E-HCC}$  در چهار  $\text{pH}$  مختلف (۵، ۶، ۷/۴ و ۹) و توسط  $\text{CD}$  بررسی شده و به دنبال آن پارامترهای ترمودینامیکی با تجزیه و تحلیل داده‌ها بدست آمده است.

## ۲. مواد و روش‌ها

### ۲-۱. مواد شیمیایی و زیستی

آکریل آمید، بیس آکریل آمید، SDS، اوره، اسید کلریدریک، کلرید سدیم، ایزوپروپانول، کوماسی بولیان بلو -R، هیدروکسید سدیم، اسید استیک گلاسیال، متانول، اتانول، Tris-base، ایزوپروپیل تیو- $\text{D}$ -گالاكتوپیرانوزید<sup>۴</sup> (IPTG<sup>۴</sup>), پلی اکریل آمید و آمونیوم *E. coli* BI21 پرسولفات از شرکت مرک آلمان تهیه شدند. باکتری *E. coli* BI21(DE3) pET32a (+) دارای ژن مربوط به  $\text{rBoNT/E-HCC}$  از دکتر سید لطیف موسوی [۱۱] گرفته شد.

### ۲-۲. بیان ژن و تخلیص پروتئین نوترکیب

باکتری *E. coli* BI21 حاوی وکتور (+) دارای ژن مربوط به  $\text{rBoNT/E-HCC}$  در محیط کشت LB مایع<sup>۵</sup> حاوی آنتی بیوتیک آمپی سیلین با غلظت نهایی  $40\text{ }\mu\text{g/ml}$  تلقیح و در دمای ۳۷ درجه سانتی گراد با سرعت ۱۵۰-۱۷۰ دور در دقیقه در شیکانگوباتور کشت داده شدند. پس از رسیدن مقدار جذب نوری لوله های  $0/5$  در طول موج  $۶۰۰$  نانومتر، به هر کدام از لوله های تست،  $\text{IPTG}$  با غلظت

بوتولیسم نوعی فلچ عضلانی خطرناک است. دوبینی و تاری دید در مراحل اولیه بیماری و در مراحل بعدی، فلچ پیش‌رونده عضلانی و گسترش آن به عضلات تنفسی و در نهایت مرگ از علائم این بیماری هستند [۱]. عامل اصلی بوتولیسم نوروتوكسین‌هایی هستند که از سه ناحیه عملکردی تشکیل شده‌اند که عبارتند از: ناحیه کاتالیتیک، ناحیه انتقال دهنده و ناحیه اتصال دهنده. این نوروتوكسین پس از عبور از خون در مجاورت پایانه‌های عصبی قرار گرفته و از طریق ناحیه اتصال دهنده به گیرنده خود متصل می‌شود. سپس ناحیه انتقال دهنده باعث ورود نوروتوكسین به پایانه عصبی می‌شود. در آنجا ناحیه کاتالیتیک سم با فعالیت آنزیمی وابسته به  $\text{Zn}^{2+}$  پروتئین‌های غشایی مانند<sup>۱</sup> SNAP-25<sup>۲</sup> VAMP<sup>۳</sup> را می‌شکند. بدین ترتیب حذف این پروتئین‌ها، باعث عدم ترشح استیل کولین، متعاقب آن عدم انتقال پیام عصبی و در نهایت فلچ عضلانی می‌شود [۳ و ۲]. امروزه تحقیقات بسیار گسترده‌ای به منظور دست‌یابی به واسن مناسب برای این نوروتوكسین‌ها انجام می‌گیرد. پژوهشگران و دانشمندان، تحقیق بر روی واکسن‌های نوترکیب را به دلیل مشکلات مربوط به واکسن‌های توکسوئیدی در اولویت اول تحقیقات خود قرار داده‌اند [۵ و ۴]. یکی از این نوع واکسن‌ها، پروتئین‌های نوترکیب مشتق از ناحیه اتصال دهنده می‌باشد. گمان بر این است که آنتی بادی‌های ضد این پروتئین نوترکیب می‌توانند باعث خنثی‌سازی اثر نوروتوكسین بوتولینوم شوند [۶-۹ و ۴].

سالانه بررسی‌های فراوانی روی انواع مختلف کاندیدهای واکسن بوتولیسم و امکان استفاده از آن‌ها به صورت خوارکی انجام می‌شود [۱۰]. با توجه به اهمیت ناحیه اتصال دهنده در اتصال سم به نورون‌ها، بررسی روی این ناحیه به عنوان کاندید واکسن مربوط توجه محققین است. یکی از این نوع کاندید واکسن‌ها، پروتئین نوترکیبی متشکل از ۹۳ اسید آمینه انتهایی کربوکسیلی زیر واحد اتصال دهنده نوروتوكسین بوتولینوم تیپ E ( $\text{rBoNT/E-HCC}$ ) می‌باشد. ژن این پروتئین که قبلاً در وکتور pET32a در باکتری *E.coli* BI21(DE3) کلون شده بود [۱۱]، در اختیار ما قرار گرفته است.

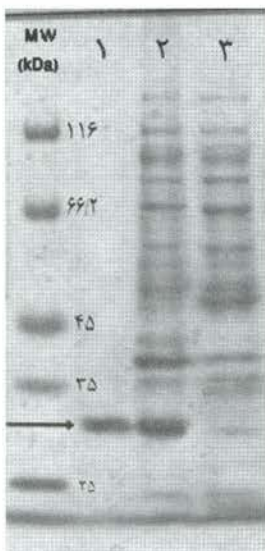
حال طبیعی پروتئین حاصل تعادلی بین نیروهای ضعیف متعددی است که به راحتی تحت تأثیر دما و شرایط محیط اطراف آن (پارامترهایی از قبیل  $\text{pH}$ ، قدرت یونی و ...) قرار می‌گیرد. از هم گسیختن ساختار سوم پروتئین که همراه با از دست دادن فعالیت پروتئین است را واپرسنگی<sup>۳</sup> می‌نامند. امروزه با اهداف متعددی واپرسنگی پروتئین مورد مطالعه قرار می‌گیرد، اما هدف اصلی اکثر این مطالعات، کسب اطلاعات بیشتر در مورد ساختار، خصوصیات و فعالیت پروتئین است. یکی از مهم‌ترین انواع واپرسنگی، واپرسنگی

<sup>1</sup> Synaptosomal Associated Protein- 25

<sup>2</sup> Vesicle Associated Membrane Protein

<sup>3</sup> Denaturation

عدم حضور آن بیانی از خود نشان ندادند. برای تخلیص این پروتئین از ستون تمایلی Ni-NTA استفاده شد که نتایج قبل قبولی داشت. پروتئین نوترکیب با خلوص به نسبت بالا، پس از افزودن بافر شستشو،  $100 \text{ mM NaH}_2\text{PO}_4$ ,  $10 \text{ mM Tris-HCl}$ ,  $10 \text{ mM}$  میلی مولار، اوره ۸ مولار، pH ۴/۵ از ستون خارج شد (شکل ۱).



شکل ۱. تصویر ژل SDS-PAGE ۱۲ درصد از بیان و تخلیص پروتئین rBoNT/E-HCC با ستون کروماتوگرافی نیکل، ردیف ۲ و ۳، به ترتیب کلتهای القاء شده و القاء نشده با IPTG و ردیف MW استاندارد اوزان مولکولی را نشان می‌دهند. فلش باند پروتئینی مربوط به rBoNT/E-HCC (~۳۰ kDa) را نشان می‌دهد.

### ۳-۲. مطالعات واسرشتگی حرارتی rBoNT/E-HCC در شرایط pH مختلف (مطالعات دو رنگ نمایی دورانی)

به منظور مطالعه واسرشتگی حرارتی rBoNT/E-HCC با استفاده از روش دو رنگ نمایی دورانی، مقادیر CD محلول‌های rBoNT/E-HCC در طول موج‌های  $190 \text{ nm}$ - $260 \text{ nm}$  در محدوده دمایی  $25^{\circ}\text{C}$  با سرعت روبشی  $0.5^{\circ}\text{C}/\text{min}$  در دقیقه ثبت شد. برای مطالعه پایداری پروتئین با CD می‌توان واسرشتگی پروتئین را در طول موج  $222 \text{ nm}$  (معیاری از واسرشتگی ماربیچ‌های آلفا) و طول موج  $217 \text{ nm}$  (معیاری از واسرشتگی صفحات بتا) [۲۲ و ۲۲] مورد مطالعه قرار داد.

**مطالعات دو رنگ نمایی دورانی روی ماربیچ آلفا: واسرشتگی حرارتی** مربوط به ماربیچ آلفای پروتئین مورد نظر با اندازه‌گیری تغییرات بیضیواری<sup>۳</sup> در طول موج  $222 \text{ nm}$  انجام گرفت [۱۴]. نتایج واسرشتگی حرارتی پروتئین rBoNT/E-HCC در pHهای ۵، ۲، ۰.۵ و ۹ در شکل ۲ نشان داده شده است. همچنین شکل (۳) نشان دهنده تغییرات مشتق درجه اول ( $\Delta\theta/\Delta T$ ) بر علیه دما مربوط به

طول موج  $600 \text{ nm}$ تر، به هر کدام از لوله‌های تست، IPTG با غلظت نهایی  $1 \text{ mM}$  اضافه و به لوله‌های شاهد، IPTG اضافه نشد. سپس لوله‌های شاهد و تست به مدت شش ساعت در شیکرانکوباتور با دمای  $37^{\circ}\text{C}$  درجه سانتی‌گراد و سرعت  $150$  دور در دقیقه گرما گذاری شدند. سپس سلول‌ها با سانتریفیوژ  $100 \text{ rpm}$  دو دور در دقیقه جمع آوری شدند [۱۵-۱۸]. سلول‌های جمع آوری شده با بافر لیز کننده  $100 \text{ mM NaH}_2\text{PO}_4$ ,  $10 \text{ mM Tris-HCl}$  مخلوط و از طریق سونیکاسیون با قدرت  $70$  درصد و  $5$  پالس در چهار چرخه زمانی (هر کدام شامل  $15$  ثانیه سونیکاسیون و  $45$  ثانیه استراحت درون بخ) شکسته شدند. سپس نمونه‌ها به مدت  $20$  دقیقه با سرعت  $14000$  دور در دقیقه سانتریفیوژ شده و محلول رویی با نسبت یک به پنج با بافر نمونه دارای غلظت  $5\times$  مخلوط و به مدت پنج دقیقه در دمای  $100^{\circ}\text{C}$  درجه سانتی‌گراد جوشانده شد [۱۵]. در نهایت نمونه‌های تیمار شده به روش‌های فوق، توسط ژل الکتروفورز<sup>۱</sup>  $12 \text{ SDS-PAGE}$  درصد، از لحاظ بیان پروتئین‌های نوترکیب بررسی شدند. برای مشاهده باندهای پروتئین، از روش رنگ‌آمیزی با کوماسی بلو استفاده شد. به منظور تخلیص پروتئین نوترکیب طبق بروتکل تخلیص توسط ستون کروماتوگرافی Ni-NTA، از ستون نیکل استفاده گردید [۱۹]. به منظور تعیین غلظت پروتئین موجود در محلول‌های به دست آمده حاصل از مرحله قبل از روش برادفورد [۲۰] استفاده شد.

### ۳-۳. مطالعات واسرشتگی حرارتی

واسرشتگی حرارتی محلول‌های rBoNT/E-HCC با استفاده از دستگاه اسپکتروپلاریمتر Jasco مدل J-810 با استفاده از کووت کوارتز با قطر  $2 \text{ mm}$  انجام گرفت. کنترل دما توسط کنترل کننده دما دستگاه انجام شد. مقادیر CD محلول‌های rBoNT/E-HCC با غلظت حدود  $0.2 \text{ mg/ml}$  در طول موج‌های  $190 \text{ nm}$ - $260 \text{ nm}$  در محدوده دمایی  $25^{\circ}\text{C}$ - $80^{\circ}\text{C}$  با سرعت روبشی  $0.5^{\circ}\text{C}/\text{min}$  در دقیقه ثبت شد [۲۱]. در تمام نمونه‌ها غلظت پروتئین حدود  $0.2 \text{ mg/ml}$  در حضور بافر (Tris-base $10 \text{ mM}$ ),  $\text{NaH}_2\text{PO}_4$  ( $100 \text{ mM}$ ) در چهار pH (۵، ۰.۵، ۷/۴ و ۹) مورد مطالعه بود. از کووت حاوی بافر بدون پروتئین به عنوان کنترل منفی استفاده شد. نمودارهای به دست آمده توسط برنامه ماکروسافت اکسل<sup>۲</sup> رسم شدند.

### ۳. نتایج و بحث

#### ۳-۱. بیان ژن و تخلیص پروتئین rBoNT/E-HCC

برای بیان این ژن در کاست pET32a(+) با نشان هگزا هیستیدین در انتهای آمینی ژن، از میزبان E.coliBL21 استفاده شد. همان‌طور که در الگوی الکتروفورز پلی آکریل آمید (SDS-PAGE) (شکل ۱) دیده می‌شود، کلتهایی که ترانس‌فورم شده بودند، در حضور IPTG به عنوان القاء کننده پرموموترهای تحت کنترل T7، بیان داشته‌اند و در

طبیعی  $\longleftrightarrow$  واسرتنه

می توان تغییرات انرژی آزاد گیبس استاندارد ( $\Delta G^\circ$ ) را از روابط زیر به دست آورد [۱۲]:

$$F_d = \frac{Y_N - Y_{obs}}{Y_N - Y_D} \quad (1)$$

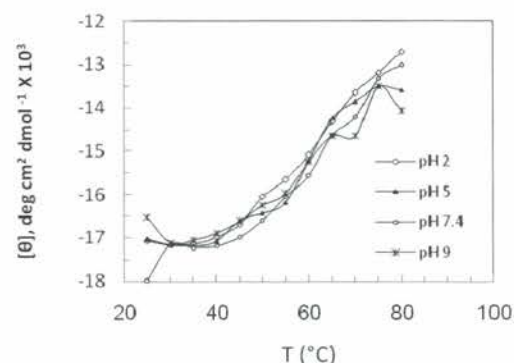
$$K = \frac{F_d}{1 - F_d} = \frac{Y_N - Y_{obs}}{Y_{obs} - Y_D} \quad (2)$$

$$\Delta G^\circ = -RT \ln K = -RT \ln \frac{Y_N - Y_{obs}}{Y_{obs} - Y_D} \quad (3)$$

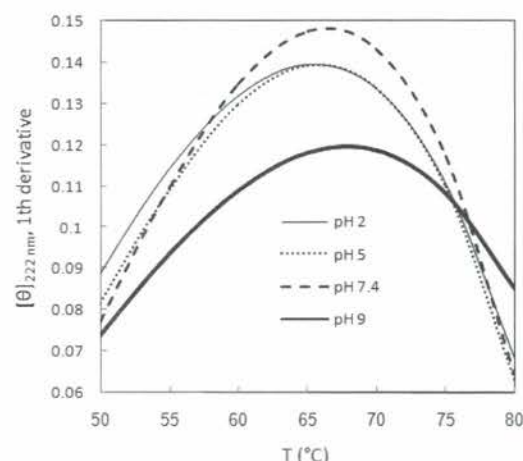
در این معادله ها  $R$  ثابت جهانی گازها  $\approx ۸/۳۱$  بر حسب ژول بر مول بر کلوین،  $T$  دمای مطلق (بر حسب کلوین)،  $Y_{obs}$  مقدار بیضیواری مشاهده شده و ثبت شده توسط دستگاه CD طی افزایش دما،  $Y_N$  و  $Y_D$  به ترتیب مقدار بیضیواری مشاهده شده در حالت طبیعی و واسرتنه پروتئین، و  $K$  ثابت اتصال را نشان می دهد.

نمودار  $\Delta G$  در مقابل دما عموماً به شکل یک نمودار زنگولهای شکل است که در بسیاری از پروتئین ها قله آن در بین دمای  $۱۰ - ۳۵^\circ\text{C}$  قرار می گیرد [۱۲]. طبق تعریف،  $\Delta G$  پروتئین در شرایط استاندارد (فشار یک اتمسفر، غلظت یک میلی مولار واکنش دهنده ها و دمای  $۰^\circ\text{C}$ ) را تغییرات انرژی آزاد گیبس استاندارد ( $\Delta G^\circ$ ) پروتئین می نامند. ولی می توان  $\Delta G^\circ$  را در دمای های مختلف به دست پروتئین مختلف با کاوش واسرتنه حرارتی مارپیچ آلفا در  $۲۲۲\text{ nm}$  rBoNT/E-HCC با غلظت حدود  $۲۰۰\text{ }\mu\text{g/ml}$  در بافر  $\text{NaH}_2\text{PO}_4 (۱۰\text{ mM})$  pH مختلف با (Tris-base  $۱\text{ mM}$ ) با pH های  $۲, ۵, ۷/۴, ۹$  قرار دارد. واسرتنه گی بری بیضیواری در طول موج  $۲۲۲\text{ nm}$  با سرعت گرمایش  $۰/۵^\circ\text{C/min}$  صورت پذیرفت.

هر کدام از منحنی های شکل (۲) می باشد. نقاط بیشینه در این پروفایل نشان دهنده دمای واسرتنه (Tm) می باشد. Tm rBoNT/E-HCC در pH های  $۲, ۵, ۷/۴, ۹$  به ترتیب  $۶۵/۵, ۶۵, ۶۶/۵$  و  $۶۸$  بود. این نتایج نشان می دهد که Tm مربوط به پروتئین rBoNT/E-HCC درجه و نسبت به pH های  $۲, ۵, ۷/۴, ۹$ ، سه درجه سانتی گراد بالاتر می باشد. این افزایش در Tm بیانگر آن است که پروتئین rBoNT/E-HCC در pH های بازی نسبت به pH های اسیدی پایداری حرارتی بیشتری دارد.



شکل ۲. نمودار واسرتنه حرارتی پروتئین rBoNT/E-HCC در شرایط pH مختلف با کاوش واسرتنه حرارتی مارپیچ آلفا در  $۲۲۲\text{ nm}$  rBoNT/E-HCC با غلظت حدود  $۲۰۰\text{ }\mu\text{g/ml}$  در بافر  $\text{NaH}_2\text{PO}_4 (۱۰\text{ mM})$  pH های  $۲, ۵, ۷/۴, ۹$  قرار دارد. واسرتنه گی بری بیضیواری در طول موج  $۲۲۲\text{ nm}$  با سرعت گرمایش  $۰/۵^\circ\text{C/min}$  صورت پذیرفت.

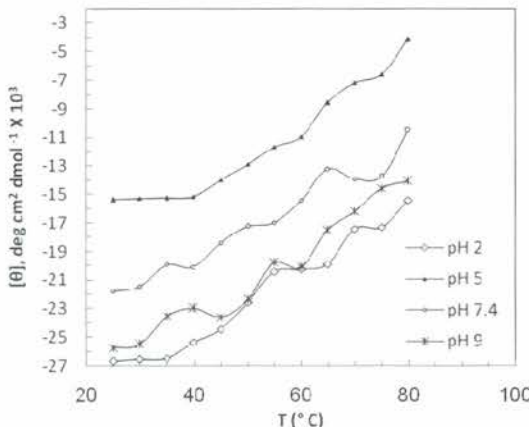


شکل ۳. نمودار تغییرات مشتق درجه اول تغییرات بیضیواری ( $\Delta\theta/\Delta T$ ) در  $۲۲۲\text{ nm}$  نسبت به تغییرات دما. مربوط به منحنی های واسرتنه حرارتی پروتئین rBoNT/E-HCC در pH مختلف. نقاط بیشینه در این پروفایل نشان دهنده Tm است.

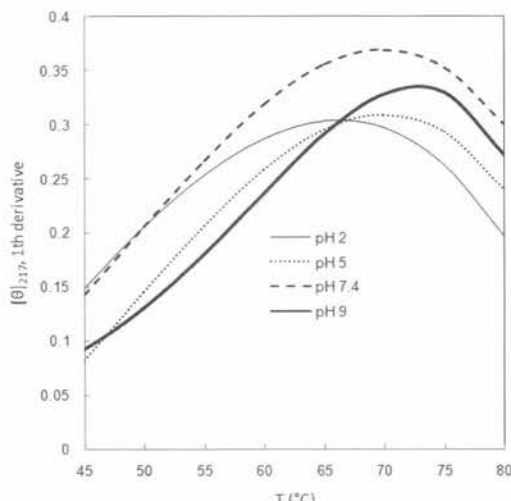
مقدار  $T_m$  پروتئین را می توان از نمودارهای  $\Delta G$  بر علیه دما نیز به دست آورد. در این نمودارها دمایی که در آن  $\Delta G^\circ$  برابر صفر است، برابر  $T_m$  پروتئین است [۱۲]. بنابراین با توجه به این امر از طریق

تعیین پارامترهای ترمودینامیکی پروتئین با آنالیز داده های CD **کارایی مارپیچ آلفا:** با فرض اینکه پروتئین مورد نظر از مدل انتقال دو حالت (Two-State Transition) زیر پیروی کند:

pH=۹/۴ در pH ۷/۴ نسبت به pH ۷ دو و نیم درجه و نسبت به pH های ۵ و ۲ به ترتیب سه و نیم و پنج و نیم درجه سانتی گراد بالاتر است. این افزایش در  $T_m$  بیانگر این است که پروتئین rBoNT/E-HCC در pH های بازی نسبت به pH های اسیدی پایداری حرارتی بیشتری دارد. نتایج حاصل با نتایج مطالعات دو رنگ نمایی روی مارپیچ آلفا تطابق دارد.



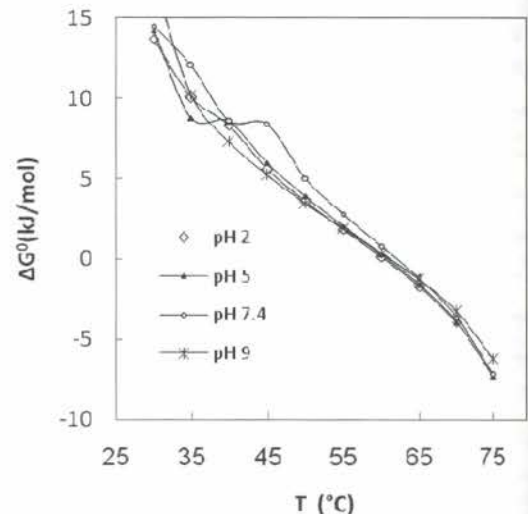
شکل ۵. نمودار واشرشتگی حرارتی پروتئین rBoNT/E-HCC در شرایط pH مختلف با کاوش واشرشتگی حرارتی صفحه بتا در ۲۱۷ nm در بیافر rBoNT/E-HCC بـا علـظـت حدـود ml ۲۰۰ µg/ml pHـهـای (۱۰ mM Tris-base)، (۱۰ mM NaH<sub>2</sub>PO<sub>4</sub>) و (۰ mM) قراردارد. واشرشتگی با اندازه گیری بیضیواری در طول موج ۲۱۷ nm با سرعت ۰.۵°C/min صورت پذیرفت.



شکل ۶. نمودار تغییرات مشتق درجه اول تغییرات بیضیواری ( $\Delta\theta/\Delta T$ ) در ۲۱۷ nm نسبت به تغییرات دما. مربوط به منحنی های واشرشتگی حرارتی پروتئین rBoNT/E-HCC در pH های مختلف. نقطه بیشینه در این پروفایل نشان دهنده  $T_m$  است.

تعیین پارامترهای ترمودینامیکی پروتئین با آنالیز داده های CD حرارتی صفحه بتا: با توجه به داده های حاصل از شکل (۵) و معادله (۳) نمودارهای تغییرات انرژی آزاد گیبس استاندارد ( $\Delta G^\circ$ ) بر

(جدول ۱، ستون چهارم) در اینجا هم مشاهده می شود که با افزایش pH از ۲ تا ۹ پروتئین افزایش می یابد.



شکل ۴. نمودار تغییرات انرژی آزاد ( $\Delta G^\circ$ ) باز شدن پروتئین rBoNT/E-HCC در pH های ۲، ۵، ۷/۴ و ۹ در مقابل دما طبق داده های حاصل از شکل (۲).

جدول ۱. انرژی آزاد گیبس استاندارد ( $\Delta G^\circ$ ) پروتئین  $T_m$  در pH HCC در pH های مختلف. مقایسه انرژی آزاد گیبس استاندارد ( $\Delta G^\circ$ ) (۲۵°C) مارپیچ های آلفا و صفحات بتای پروتئین rBoNT/E-HCC در pH های ۲، ۵، ۷/۴، ۹ به ترتیب از راست در ستون دوم و سوم آورده شده است.  $T_m$  پروتئین rBoNT/E-HCC از نمودارهای  $\Delta G^\circ$  بر علیه دما در نقطه صفر =  $\Delta G^\circ$  حاصل از مطالعه روی مارپیچ آلفا و صفحات بتا به ترتیب در ستون های چهارم و پنجم آورده شده است.

$T_{m\beta}$ (°C)	$T_{ma}$ (°C)	$\Delta G^\circ_\beta$ (۲۵°C) kJ/mol	$\Delta G^\circ_a$ (۲۵°C) kJ/mol	pH
۵۴/۴	۵۹/۶	۹/۸	۱۴/۸	۲/۰
۵۶/۶	۵۹/۸	۱۰/۰	۱۵/۱	۵/۰
۵۶/۶	۶۱/۲	۱۰/۲	۱۶/۰	۷/۴
۵۷/۲	۶۱/۴	۱۱/۰	۱۶/۲	۹/۰

مطالعات دو رنگ نمایی دورانی روی صفحات بتا: واشرشتگی حرارتی مربوط به صفحه بتا پروتئین مورد نظر با اندازه گیری تغییرات بیضیواری در طول موج ۲۱۷ nm انجام گرفت [۲۲ و ۲۳]. نتایج واشرشتگی حرارتی پروتئین rBoNT/E-HCC در pH های ۷/۴، ۵، ۲ و ۹ در شکل (۵) نشان داده شده است. همچنین شکل (۶) نشان دهنده تغییرات مشتق درجه اول ( $\Delta\theta/\Delta T$ ) بر علیه دما مربوط به هر کدام از منحنی ها است. نقاط بیشینه در این پروفایل نشان دهنده  $T_m$  می باشد. دمای واشرشتگی ( $T_m$ ) پروتئین rBoNT/E-HCC در pH های ۷/۴، ۵، ۲ و ۹ به ترتیب ۶۶، ۶۸، ۷۰ و ۷۲°C می باشد.

این نتایج نشان می دهد که  $T_m$  مربوط به پروتئین

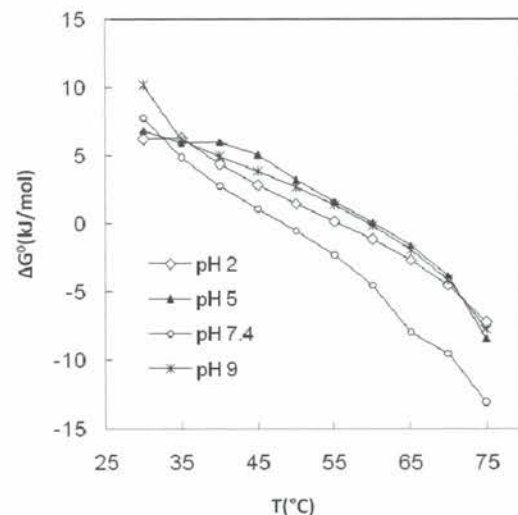
پروتئین در pHهای مختلف در نظر گرفته شد. مقایسه  $\Delta G^\circ$  حاصل از بررسی‌های روی مارپیچ‌های آلفا و صفحات بتا پروتئین rBoNT/E-HCC نشان داد که این پروتئین در pH=۹/۰ دارای بیشترین مقدار  $\Delta G^\circ$  مثبت ( $16/2 \text{ kJ/mol}$ ) با بررسی روی مارپیچ آلفا و  $11 \text{ kJ/mol}$  با بررسی روی صفحات بتا) و در pH=۲/۰ دارای کمترین مقدار  $\Delta G^\circ$  مثبت ( $14/8 \text{ kJ/mol}$ ) با بررسی روی مارپیچ‌های آلفا و  $+9/8 \text{ kJ/mol}$  با بررسی روی صفحات بتا) است.  $\Delta G^\circ$  محاسبه شده در pHهای ۵ و  $7/4$  مابین این دو مقدار قرار گرفت. در نمودارهای  $\Delta G^\circ$  بر علیه دما، دمایی که در آن  $\Delta G^\circ$  برابر صفر  $T_m$  می‌باشد، برابر  $T_m$  پروتئین است. با در نظر گرفتن این حقیقت،  $T_m$  پروتئین با آنالیز داده‌های نمودارهای  $\Delta G^\circ$  علیه دما به دست آمد و نتایج نشان داد که  $T_m$  پروتئین در pHهای بازی بیشتر از pHهای اسیدی و خنثی است (جدول ۱، ستون‌های چهارم و پنجم)، در کل داده‌های حاصل از نمودارهای  $\Delta G^\circ$  علیه دما نشان داد که پروتئین  $rBoNT/E-HCC$  در pHهای مطالعه شده بالاتر، پایدارتر می‌شود.

همچنین این نتایج نشان می‌دهد که پروتئین  $rBoNT/E-HCC$  در pHهای خنثی و بازی از لحاظ پایداری چندان تفاوتی با هم ندارند  $\Delta G^\circ$  و  $T_m$  نزدیک به هم دارند) در حالی که کاهش  $T_m$  علیه دما به دست آمد و  $\Delta G^\circ$  پروتئین در pH=۲/۰ نسبت به سایر pHها مشاهده شد. بنابراین نتایج کلی نشان دهنده اثر نایپایداری pHهای بسیار پایین که معیاری از  $rBoNT/E-HCC$  دستگاه گوارش (معده) هست، بر روی پروتئین  $rBoNT/E-HCC$  می‌باشد. این تغییرات ممکن است در اینمی زایی پروتئین بسیار اثرگذار باشند. بنابراین توصیه می‌شود که مطالعات ایمونولوژیکی نیز بر روی این پروتئین بهمنظور بررسی احتمال استفاده از این پروتئین به عنوان واکسن به صورت خوراکی، انجام گیرد، و در نهایت طبق این بررسی به نظر می‌رسد که بهترین حالت به منظور تخلیص، تزریق و نگهداری این پروتئین شرایط pH خنثی یا بازی باشد.

## ۵. مراجع

- [1] Novak, J.; Peck, M.; Juneja, V.; Johnson, E. "Clostridium Botulinum and Clostridium Perfringens in: Foodborne Pathogens"; *Microbiol. Mol. Biol. R.* 2005, 40, 383–407.
- [2] Li, L.; Singh, B. "Structure- Function Relationship of Clostridial Neurotoxins"; *J. Toxicol. Toxin Rev.* 1999, 18, 95-112.
- [3] Simpson, L. "Identification of Major Steps in Botulinum Toxin Action"; *Annu. Rev. Pharmacol.* 2004, 44, 161-193.
- [4] Smith, L. "Development of Recombinant Vaccines for Botulism Neurotoxin"; *Toxicon*. 1998, 36, 1539-1548.
- [5] Janice, M.; Rusnak, A.; Smith, L. "Botulinum Neurotoxin Vaccines Past History and Recent Developments"; *Hum. Vaccines* 2009, 5, 794-805.
- [6] Baldwin, M.; Tepp, W.; Przedpelski, A.; Pier, C.; Bradshaw, M.; Johnson, E.; Barbieri, J. "Subunit Vaccine Against the Seven Serotype of Botulism"; *Infect. Immun.* 2008, 76, 1314-1318.
- [7] Dolimbek, B.; Steward, L.; Aoki, K.; Atassi, M. "Immune Recognition of Botulinum Neurotoxin B: Antibody-Binding Region on the Heavy Chain of the Toxin"; *Mol. Immunol.* 2007, 45, 910-924.
- [8] Baldwin, M.; Tepp, W.; Pier, C.; Bradshaw, M.; Hao, M.; Wilson, B.; Fritz, R.; Johnson, E.; Barbieri, J. "Characterization of the Antibody Response to the Receptor Binding Domain of

علیه دما رسم شدند (شکل ۷). مقایسه‌ی تغییرات انرژی آزاد گیبس استاندارد ( $\Delta G^\circ$ ) (دما ۲۵ درجه سانتی‌گراد) به عنوان معیاری از پایداری پروتئین rBoNT/E-HCC در pHهای مختلف در جدول (۱)، ستون سوم آورده شده است. داده‌های این جدول نشان می‌دهد که پروتئین در pH=۹/۰ تغییرات انرژی آزاد مثبت بزرگتری (۱۱ kJ/mol) نسبت به سایر pHها دارد که نشان دهنده پایداری پروتئین در این pH است. به همین ترتیب تغییرات انرژی آزاد گیبس استاندارد در pHهای  $7/4$  و ۵ نیز از  $pH=2/0$  بیشتر است که نشان می‌دهد پروتئین در این دو pH هم نسبت به pH=۲/۰ پایدارتر است. مقادیر  $T_m$  از نمودارهای  $\Delta G^\circ$  بر علیه دما نیز محاسبه شد (جدول ۱، ستون پنجم). در اینجا هم مشاهده می‌شود که با افزایش pH از ۲ تا ۹ مقدار  $T_m$  پروتئین افزایش می‌یابد.



شکل ۷. نمودار تغییرات انرژی آزاد ( $\Delta G^\circ$ ) بازشنیدن پروتئین  $rBoNT/E-HCC$  در pHهای ۹،  $7/4$ ، ۵، ۲ و ۲/۰ در مقابل دما طبق داده‌های حاصل از شکل (۵).

## ۴. نتیجه‌گیری

مطالعات گذشته نشان داده که سم کامل بوتولیسم تیپ C در مقابل شرایط دستگاه گوارش مقاوم است [۲۳]. بر اساس این پژوهش، این پرسش پیش می‌آید که آیا ممکن است ساختار پروتئین‌های نوترکیب مشتق از سم بوتولیسم نیز در مقابل شرایط دستگاه گوارش دچار تغییر نشود؟ بهمنظور بررسی این مسئله در مورد پروتئین  $rBoNT/E-HCC$  و همچنین یافتن شرایط pH مناسب برای تخلیص، تزریق و نگهداری این کاندید واکسن، در این تحقیق چندین pH مختلف (۲،  $5$ ،  $7/4$  و ۹) مورد مطالعه قرار گرفت. نتایج حاصل از دو رنگ نمایی دورانی مارپیچ‌های آلفا و صفحات بتا نشان داد که پروتئین  $rBoNT/E-HCC$  در pHهای بازی پایدارتر است.

در این تحقیق،  $\Delta G^\circ$  محاسبه شده در دما ۲۵ درجه سانتی‌گراد (با بروزیابی نمودار  $\Delta G^\circ$  بر علیه دما) به عنوان  $\Delta G^\circ$  مقایسه‌ای

*Archive of SID*

- [16] Bolleg, D. M.; Rzycki, M. D.; Edelstein, S. J. "Protein Methods"; 3th Printing, Chapters: 2, 3, 6, and 8. Wiley-Liss: New York, 1992.
- [17] Wingfield, P.; Palmer, I.; Liang, S. "Folding and Purification of Insoluble (Inclusion-Body) Proteins from Escherichia Coli"; Curr. Protoc. Protein Sci. 2001; Chapter 6:Unit 6.5.
- [18] Ahmed, S. A.; Smith, L. A. "Light Chain of Botulinum a Neurotoxin Expressed As an Inclusion Body from Asynthetic Gene is Catalytically and Functionally Active"; J. Protein. Chem. 2000, 19, 475-487.
- [19] Crowe, J.; Masone, B. S.; Ribbe, J. "One-Step Purification of Recombinant Proteins with the 6xhis Tag and Ni-NTA Resin"; Mol. Biotech. 1995, 4, 247-58.
- [20] Bradford, M. M. "A Rapid and Sensitive Method for the Quantitation of Microgram Quantities of Protein Utilizing the Principle of Protein Dye Binding"; Anal. Biochem. 1976, 72, 248-254.
- [21] Benjwal, S.; Verma, S.; Klaus-Heinrich, R.; Gursky, O. "Monitoring Protein Aggregation During Thermal Unfolding in Circular Dichroism Experiments"; Protein Sci. 2006, 15, 635-639.
- [22] Karbassi, F.; Haghbeen, K.; Saboury, A. A.; Rezaei-Tavirani, M.; Ranjbar, B. "Calorimetric, Spectrophotometric and Circular Dichroism Studies on the Impact of Sodium Dodecyl Sulfate on the Mushroom Tyrosinase Structure"; Biol. Bratislava 2004, 59, 319-326.
- [23] Kiyatkin, N.; Andrew, B.; Lance, L. "Induction of an Immune Response by Oral Administration of Recombinant Botulinum Toxin"; Infect. and Immun. 1997, 12, 4586-4591.
- [9] Atassi, M.; Dolimbek, B. "Mapping of the Antibody-Binding Regions on the HN-Domain (Residues 449-859) of Botulinum Neurotoxin A with Antitoxin Antibodies from Four Host Species. Full Profile of the Continuous Antigenic Regions of the H-Chain of Botulinum Neurotoxin A"; Protein J. 2004, 23, 39-52.
- [10] Mestecky, J. "The Common Mucosal Immune System and Current Strategies for Induction of Immune Response in External Secretions"; J. Clin. Immunol. 1987, 7, 265-276.
- [11] Agheli Mansour, A.; Mousavi, S. L.; Rasooli, I.; Nazarian, S.; Amani, J.; Farhadi, N. "Cloning, High Level Expression and Immunogenicity of 1163-1256 Residues of C-Terminal Heavy Chain of C. Botulinum Neurotoxin Type E"; Biologicals 2010, 38, 260-264.
- [12] Saboury, A. A.; Moosavi-Movahedi, A. A. "Derivation of the Thermodynamic Parameters Involved in the Elucidation of Protein Thermal Profiles"; Biochem. Educ. 1995, 23, 164-167.
- [13] Nelson, D. L.; Cox, M. M. "Lehninger Principle of Biochemistry"; Fourth Ed., Chapter 13, W. H. Freeman & co: New York, 2004.
- [14] Norma, J. "Using Circular Dichroism Collected As a Function of Temperature to Determine the Thermodynamics of Protein Unfolding and Binding Interactions"; Nat. Protoc. 2006, 1, 2527-2535.
- [15] Tonello, F. "Recombinant and Truncated Tetanus Neurotoxin Light Chain: Cloning, Expression, Purification, and Proteolytic Activity"; Protein Expression Purif. 1999, 15, 221-227.